



## تولید، نشان دارسازی و بررسی توزیع پیولوژیکی رادیوداروی $^{47/46}\text{Sc-DOTMP}$

<sup>۱</sup> فاطمه فتحی، مجتبی شمسائی ظفر قندی<sup>۲</sup>، لیلا مقدم بنائی<sup>\*</sup>، علی پیرامی سامانی<sup>۳</sup>

۱. دانشکده مهندسی هسته‌ای و فیزیک، دانشگاه صنعتی امیرکبیر، صندوق پستی: ۱۵۸۷۵-۴۴۱۳، تهران - ایران

<sup>۲</sup>. بیو-هشکده‌ی چرخه‌ی سوخت هسته‌ای، بیو-هشگاه علوم و فنون هسته‌ای، سازمان افزایی اتمی ایران، صندوق پستی: ۸۴۶۷، ۱۳۶۵-۱۳۶۴، تهران - ایران

**چکیده:** برای طراحی رادیوداروهای مناسب به منظور استفاده در تسکین دردهای استخوانی، به رادیوایزوتوب های گسیل کننده‌ی  $\beta$  با انرژی متوسط یا کم و یک مولکول حمل کننده و پایدار نیاز است. در این راستا، لیگاندهای پلی آمینوفسفونیک اسیدهای حلقوی به صورت موادی که ترکیباتی با پایداری ترمودینامیکی و مقاومت جنبشی بالاتری با فلزها نسبت به مشابه مارپیچی خود شکل می دهن، شناخته می شوند. در این پژوهه، استفاده از  $^{47}\text{Sc}$ -ترامیلن فسفونیک اسید (DOTMP) به شکل یک لیگاند پلی آمینوفسفونیک اسید حلقوی و استخوان خواه، رادیوایزوتوب  $^{75}\text{Sc}$  در نقش یک گسیلنده‌ی کم انرژی  $\beta$  با انرژی های بیشینه  $0,600\text{ MeV}$  و  $0,441\text{ MeV}$  و نیمه عمری برابر با  $2,4\text{d}$  در نظر گرفته شد. پتانسیل درمانی این رادیوداروی استخوان خواه از راه نشان دارسازی  $^{47}\text{Sc}$ -ترامیلن فسفونیک اسید (DOTMP) با  $^{47}\text{Sc}$  و اندازه گیری مقدار جذب اسکلتی آن در مدل حیوانی ارزیابی شد. به دلیل محدودیت دسترسی به رادیوایزوتوب  $^{75}\text{Sc}$ ، این پژوهه با استفاده از رادیوایزوتوب  $^{75}\text{Sc}$  که دارای خواص شیمیابی مشابه است، انجام شد.  $^{75}\text{Sc}$  با پرتوزایی در حدود  $1\text{ MBq}$  ( $2,3\text{ mCi}$ ) و بمباران اکسید  $\text{Sc}$  طبیعی به مدت زمان  $48\text{ h}$  تحت شار نوترونی  $3,5 \times 10^{-13} \text{ n/cm}^2\text{ s}$  در راکتور تحقیقاتی تهران، تولید شد. رادیوداروی  $^{75}\text{Sc-DOTMP}$  با خلوص رادیوشیمیابی بالاتر از ۹۵٪ و نسبت لیگاند به فلز ۱:۶۰ تهیه، و پایداری آزمایشگاهی آن به مدت  $48\text{ h}$  و در دمای اتاق ارزیابی، و سپس توزیع بیولوژیکی آن در موش ها تا ۷ روز بررسی شد.

کلید واژه‌ها: رادیوداروی استخوان خواه،  $^{74}\text{Sc-DOTMP}$ ، نشان‌دارسازی، توزیع بیولوژیکی

## **Production, Radiolabeling and Biodistribution of $^{47/46}\text{Sc}$ -DOTMP as a Radiopharmaceutical**

F. Fathi<sup>1</sup>, M. Shamsaei<sup>1</sup>, L. Moghaddam B.\*<sup>2</sup>, A. Bahrami-Samani<sup>2</sup>

## **1. Faculty of Nuclear Engineering and Physics, Amirkabir University of Technology, P.O.Box: 15875-4413, Tehran – Iran**

1. Faculty of Nuclear Engineering and Physics, Amirkabir University of Technology, P.O.Box: 15875-4413, Tehran – Iran  
2. Nuclear Fuel Cycle Research School, Nuclear Science and Technology Research Institute, AEOI, P.O.Box: 11365-8486, Tehran – Iran

**Abstract:** Designing ideal radiopharmaceuticals for use as the bone pain palliatives requires the utilization of a moderate or low energy  $\beta$ -emitters with a stable carrier molecule. In this direction, cyclic polyaminophosphonic acids are known to form thermodynamically more stable and kinetically more inert complexes with lanthanides, compared to their acyclic analogs. In this study, DOTMP as the cyclic polyaminophosphonic acid and bone-seeking ligand, and  $^{47}\text{Sc}$  radioisotope as a low energy  $\beta$ -emitter with the maximum energies of 0.600MeV and 0.441MeV and the short half-life of 3.47d were considered and the therapeutic potential of the bone seeking radiopharmaceutical  $^{47}\text{Sc}$ -DOTMP was assessed by measuring its skeletal uptake in the animal model. Because of the limited availability of  $^{47}\text{Sc}$ , this study was performed upon using  $^{46}\text{Sc}$  radioisotope which is chemically identical.  $^{46}\text{Sc}$  was produced with an activity of

2.3 (85.1 MBq) mCi by irradiation of natural  $^{45}\text{Sc}_2\text{O}_3$  target at a thermal neutron flux of  $3.5 \times 10^{13}$  n/cm $^2$ .s in 48h at the Tehran Research Reactor (TRR).  $^{46}\text{Sc}$ -DOTMP was prepared in radiochemical purity of about 90% in a chelant-to-metal ratio of 60:1. The in-vitro stability of the complex was evaluated at room temperature for 48h. Then, the biodistribution studies of the complex in 5 groups of mice were carried out for 7d.

**Keywords:** Bone-Seeking Radiopharmaceutical,  $^{46}\text{Sc-DOTMP}$ , Radiolabeling, Biodistribution



## ۱. مقدمه

تزریق عامل درمانی، استفاده شود [۱۲]. اما به علت محدود بودن دسترسی به این رادیوایزوتوپ، در این پروژه و در آزمایش‌های ابتدایی، از رادیوایزوتوپ  $^{47}\text{Sc}$  به دلیل داشتن خواص شیمیایی مشابه استفاده شده است [۱۰، ۱۳، ۱۶]. این رادیوایزوتوپ با داشتن نیمه عمر طولانی  $83/81\text{d}$  و بیشینه انرژی بتایی برابر با  $365\text{MeV}$  و دو بیشینه انرژی گامای بالا برابر با  $88/100\text{MeV}$ ، هسته‌ی پرتوزای مناسب و گزینه‌ای قابل توجه برای ارزیابی شیمیایی، پایداری و توزیع بیولوژیکی ترکیبات نشان‌دار شده با ایزوتوپ‌های اسکاندیم است. هر چند که نیمه عمر بالا و مشخصه‌های تابشی این رادیوایزوتوپ، آن را برای استفاده در کاربردهای کلینیکی نامناسب ساخته است [۱۲، ۱۳].

در طراحی رادیوداروهای نشان‌دار مناسب برای تسکین دردهای ناشی از متاستازهای استخوانی، پلی‌آمینوفسفونیک-اسیدهای چندنده‌ای مانند DOTMP به دلیل تمایل استخوان-خواهی بالا، انتخاب موضعی ضایعات استخوانی و توانایی بالا برای تشکیل شلاته‌های فلزی با پایداری بالا در داخل بدن، مناسب نیستند [۷، ۸]. تمایل استخوان‌خواهی بالای گروه فسفونات‌ها به دلیل کلیسم موجود در استخوان‌هاست [۹]. نتایج مطالعات انجام شده، نشان‌دهنده‌ی تشکیل ترکیباتی با پایداری ترمودینامیکی بالاتر، و از نظر جنبشی مقاوم‌تر با استفاده از پلی-آمینوفسفونیک‌های حلق‌وی مانند  $^{10}\text{-}14, 47, 7, 10$ -تترا آزاسیکلودودکان- $1, 4, 7, 10$ -تررامتیلن فسفونیک اسید (DOTMP) نسبت به پلی‌آمینوفسفونیک‌های مارپیچی مشابه مانند EDTMP هستند [۶، ۷، ۹].

در این پژوهش، نشان‌دارسازی  $^{47}\text{Sc}$  با استفاده از لیگاند DOTMP و توزیع بیولوژیکی آن پس از تزریق به ۵ گروه موش، در اندام‌های مختلف بدن این حیوانات، بررسی شده است.

## ۲. بخش تجربی

### ۱.۲ مواد و روش‌ها

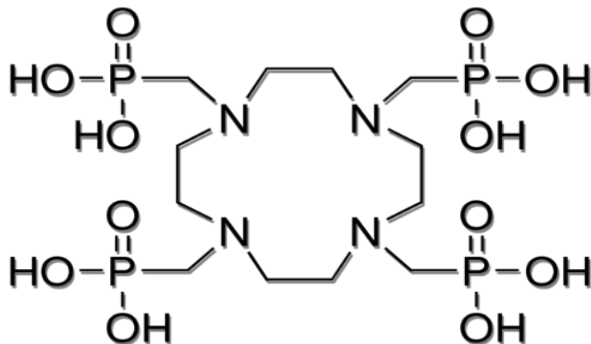
مقدار  $0.73\text{mg}$  اکسید اسکاندیم طبیعی ( $^{45}\text{Sc}_2\text{O}_3$ ) به صورت ماده‌ی هدف در راکتور تحقیقاتی تهران (TRR) قرار گرفت و با بمباران نوترونی تحت شاری برابر با  $3.5 \times 10^{13}\text{n/cm}^2\cdot\text{s}$  به مدت زمان  $48\text{h}$  و با واکنش هسته‌ای  $\text{Sc}(\text{n},\gamma)^{45}\text{Sc}$ ، ایزوتوپ  $^{47}\text{Sc}$  با خلوص ۹۸٪ به دست آمد. DOTMP از شرکت Fluka

دردهای ناشی از متاستازهای استخوانی، رایج‌ترین نوع درد در مراحل آخر و پیشرفته‌ی بیماری سرطان است که بر کیفیت زندگی بیمار در این مرحله به شدت اثر می‌گذاردند. بیش از ۸۵٪ بیمارانی با سرطان‌های نظیر پستان، پروستات و ریه که بیماری آنها در مرحله‌ی پیشرفته‌ای قرار دارد، از دردهای ناشی از متاستازهای استخوانی رنج می‌برند [۱، ۲]. متاستازهای روش‌های درمانی غیررادیودارویی مانند استفاده از داروهای مسکن، هورمون درمانی، ارکیکتومی (جراحی برداشت یک یا هر دو یقه)، یووفسونات‌هایی نظیر زولدرونیک اسید و جراحی برای درمان همه‌ی انواع سرطان‌ها به ویژه در مراحل آخر این بیماری، مؤثر نیستند [۳]. پرتو درمانی با استفاده از چشممه‌ی خارجی نیز فقط در درمان متاستازهایی که تک کانونی‌اند و موقعیت آنها به خوبی مشخص باشند، بسیار مؤثر است، اما در حالتی که متاستاز دارای چند کانون و پراکنده باشند یا برای ضایعات استخوانی که قبلًا با این تابش درمان شده‌اند، دارای اثر کم‌تر و همراه با عوارض جانبی است [۳-۵]. این نوع از متاستازهای استخوانی، گزینه‌های مناسبی برای درمان با استفاده از رادیوداروهای سیستماتیک هستند که ارزش درمانی خود را برای درمان متاستازهای استخوانی در آزمایش‌ها و مطالعات صورت گرفته، نشان داده‌اند [۳، ۴]. مهم‌ترین چالش در طراحی این نوع از رادیوداروها، به حد اکثر رساندن دز تابشی به ضایعات استخوانی موجود در سطح استخوان‌ها، و به حداقل رساندن دز رسیده به مغز قرمز استخوان است [۶-۸].

نتایج پژوهش‌ها نشان می‌دهند که رادیوایزوتوپ‌های گسیل-کننده‌ی  $\beta^-$  تبدیل الکترون با انرژی‌های متوسط یا کم، گزینه‌های مناسبی برای اتصال به لیگاند‌های استخوان‌خواه و رساندن دز جذبی مؤثر به استخوان‌ها نیستند [۶، ۷، ۹]. یکی از این رادیوایزوتوپ‌های مناسب که به ویژه در سال‌های اخیر به منظور استفاده در رادیوتراپی به شدت به آن توجه شده است، رادیوایزوتوپ  $^{47}\text{Sc}$  با نیمه عمر کوتاه  $34\text{d}$  است [۱۰، ۱۱]. این رادیوایزوتوپ یک گسیل‌کننده‌ی کم‌انرژی  $\beta^-$  با انرژی‌های بیشینه‌ی  $441\text{MeV}$  و  $600\text{MeV}$  است که با داشتن تابش گاماًی با انرژی  $159\text{MeV}$ ، می‌تواند برای تصویربرداری از هدف، ارزیابی وضعیت بیماری و پیش‌بینی اثر درمان در زمان



این نسبت وزنی ساخته شد. ترکیب  $^{46}\text{Sc}$ -DOTMP از افرودن



شکل ۱. فرمول شیمیایی - $^{46}\text{Sc}$ -DOTMP. ترازاسیکلودودکان-۱۰،۴،۷،۱۰- تترامیلن فسفونیک اسید (DOTMP).

۲٪ محلول  $\text{ScCl}_3$  پس از دوبار خشک کردن (با پرتوzایی  $^{46}\text{Sc}$ ) معادل  $18.5\text{MBq}$  به  $18.5\text{mg}$   $^{46}\text{Sc}$  از DOTMP (با نسبت وزنی ۱:۶۰) و حل کردن آن در هیدروکسید سدیم ( $\text{NaOH}$ )  $0.5\text{M}$ ، تهیه شد و  $\text{pH}$  نمونه به ۸ رسید. محلول نهایی ابتدا به مدت ۱۰ min بر روی حرارت ملایم گرمکن و سپس به مدت ۱h در حمام آبی با حرارت  $90^\circ\text{C}$  قرار گرفت. خلوص رادیوشیمیایی ترکیب  $^{46}\text{Sc}$ -DOTMP به دست آمده، با کاربردن ITLC و با استفاده از حلal آمونیوم استات ۱۰٪ مтанول ۱:۱ تعیین شد.

#### ۴.۲ بورسی پایداری آزمایشگاهی

پایداری آزمایشگاهی ترکیب  $^{46}\text{Sc}$ -DOTMP، با نگهداری آن در دمای اتاق و در  $\text{pH}=8$ ، به مدت ۴۸h پس از تهیه برسی شد. در این راستا، خلوص رادیوشیمیایی ترکیب با روش ITLC و آمونیوم استات ۱۰٪ مтанول ۱:۱ در بازه‌های زمانی منظم و به کار بردن روش‌های استاندارد کنترل کیفی، برسی شد. به منظور انجام TLC، لکه بر روی فاصله‌ی  $1.5\text{cm}$  از انتهای کاغذ به طول  $10\text{cm}$  قرار گرفت و در محلول فاز متحرک قرارداده شد.

#### ۵.۲ بورسی توزیع بیولوژیکی در موش

بررسی توزیع بیولوژیکی ترکیب  $^{46}\text{Sc}$ -DOTMP در پنج گروه موش با وزن تقریبی ۲۵ g الی  $35\text{g}$ ، انجام شد.  $3\text{cc}$  از ترکیب نهایی

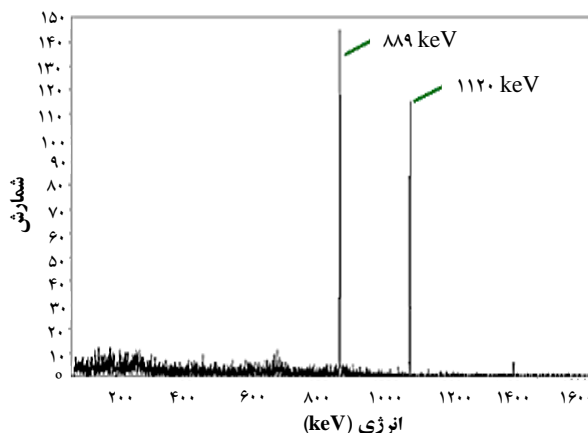
سوئیس، و دیگر مواد شیمیایی از شرکت Merck آلمان خریداری شده بود. از کاغذ واتمن شماره ۱ کروماتوگرافی لایه-ی نازک آنی (ITLC) استفاده شد. خلوص هسته‌ی پرتوzایی  $^{46}\text{Sc}$  با استفاده از طیف‌نگاری گاما تعیین شد. بازدهی نشان‌دارسازی ترکیب  $^{46}\text{Sc}$ -DOTMP با استفاده از طیف‌نگاری EG&G Berthold ذرات بتا و دستگاه شمارنده‌ی بتا ساخت آلمان انجام شد. اندازه‌گیری پرتوهای گاما در اندام‌های موش به منظور بررسی توزیع بیولوژیکی ترکیب، از راه طیف‌نگاری تابش گاما با قدرت تفکیک بالا و با استفاده از آشکارساز HPGe صورت گرفت.

#### ۴.۲ تهیه و فرایند رادیوشیمیایی $^{46}\text{Sc}$

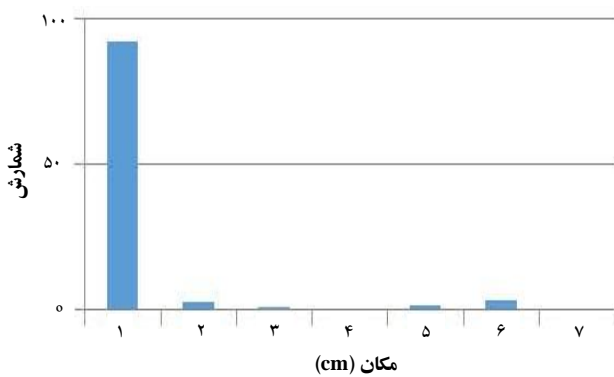
$^{46}\text{Sc}$  با استفاده از تابش دهی  $73\text{mg}$   $\text{Sc}_2\text{O}_3$  هدف  $3.5 \times 10^{-3} \text{n/cm}^2\text{s}$  طبیعی تحت شار نوترونی گرمایی برابر  $\text{HCl}$  در راکتور تحقیقاتی تهران تولید شد. نمونه‌ی تابش دهی شده را به مدت ۸ روز سرد، و سپس در اسید کلرید ریک (HCl)  $3\text{M}$  حل شد و به آرامی حرارت داده شد تا محلول  $\text{ScCl}_3$  به دست آید. محلول حاصل سپس با آب مقطر به حجم نهایی  $10\text{ml}$  رسانده شد. ارزیابی کل پرتوzایی به دست آمده و خلوص هسته‌ی پرتوzایی  $^{46}\text{Sc}$  تولید شده، با طیف‌نگاری تابش گاما قدرت تفکیک بالا با استفاده از آشکارساز HPGe انجام شد. پرتوzایی کل تقریباً برابر با  $85.1\text{MBq}$  ( $2.3\text{mCi}$ ) به دست آمد. خلوص رادیوشیمیایی محلول  $^{46}\text{ScCl}_3$  به روش ITLC و سیستم حلal آمونیوم استات ۱۰٪ مтанول ۱:۱ برسی شد.

#### ۴.۲ تهیه و مشخصات $^{46}\text{Sc}$ -DOTMP

شکل ۱، ساختار شیمیایی DOTMP را نشان می‌دهد. برای تعیین بازدهی نشان‌دارسازی بهینه، آزمایش‌هایی برای تعیین بازدهی ترکیب  $^{46}\text{Sc}$ -DOTMP در نسبت‌های وزنی فلز به لیگاند ۱:۱ تا ۱:۶۰ و در pHهای مختلف انجام شد. در نسبت‌های وزنی مختلف، مقدار رادیوازوتوپ ( $0.35\text{mg}$ ) ثابت نگه داشته، و مقدار لیگاند به تدریج تغییر داده شد. نتایج حاصل نشان‌دهنده‌ی بازدهی نشان‌دارسازی خوب ترکیب در نسبت وزنی ۱:۶۰ و در pH=8 بود و بنابراین محلول نهایی برای تزریق به مدل حیوانی با



شکل ۲. طیف HPGe محلول  $\text{ScCl}_3$ <sup>۴۶</sup> مورد استفاده در این پروژه.



شکل ۳. رادیوکروماتوگرافی لایه‌ی نازک کاغذی محلول  $\text{ScCl}_3$ <sup>۴۶</sup> با آمونیم استات ۱۰٪ مтанول ۱:۱ با استفاده از کاغذ واتمن شماره ۱ (R<sub>f</sub>=۰.۹).

### ۲.۳ تهیه و مشخصات $\text{Sc}\text{-DOTMP}$

برای تعیین بازدهی نشان دارسازی بهینه، آزمایش‌هایی برای تعیین بازدهی ترکیب  $\text{Sc}\text{-DOTMP}$ <sup>۴۶</sup> در نسبت‌های وزنی فلز به لیگاند ۲۰:۱ تا ۶۰:۱ و در pH های مختلف انجام شد که نتایج حاصل نشان دهندهی بازدهی نشان دارسازی خوب ترکیب در نسبت وزنی ۱:۶۰ و در pH=۸ بود. این نتیجه در مورد نسبت وزنی با نتایج منتشر شدهی بازدهی و همکاران [۶] نزدیک است. بنابراین محلول نهایی برای تزریق به مدل حیوانی، با این نسبت وزنی ساخته شد. ترکیب  $\text{Sc}\text{-DOTMP}$ <sup>۴۶</sup> تهیه، و خلوص رادیوشیمیایی با استفاده از ITLC و آمونیم استات ۱۰٪ مтанول ۱:۱ و دستگاه طیف‌نگاری بتا تعیین شد. در این روش  $\text{Sc}\text{-DOTMP}$ <sup>۴۶</sup> با حلal به سمت بالا حرکت می‌کند، در حالی که در پایین باقی می‌ماند. ترکیب  $\text{Sc}\text{-DOTMP}$ <sup>۴۶</sup> با  $\text{ScCl}_3$  محلول رادیوشیمیایی ۹۵٪ با استفاده از ۸۰ mg از

با پرتوزایی ( $6.3 \mu\text{Ci}/\text{cc}$ ) از طریق رگ وریدی دم موش‌ها تزریق شد. سپس با قرار دادن حیوانات در اتاق دی اکسید کربن، به ترتیب ۴، ۲۴، ۴۸، ۹۶ و ۱۹۲ h پس از تزریق، کشته و تشریح شدند. در هر نقطه‌ی زمانی، یک گروه از موش‌ها کشته و تشریح شدند. بافت‌ها و اندام‌های هر حیوان جدا، و پرتوزایی هر کدام با استفاده از دستگاه طیف‌نگاری گاما تعیین شد. در این آزمایش، پرتوزایی تجمعی در هر گرم از استخوان ران برای به دست آوردن جذب اسکلتی کل، با فرض این که وزن استخوان‌ها ۱۰٪ وزن کل بدن را تشکیل می‌دهند، در نظر گرفته شد. توزیع پرتوزایی در خون نیز با درنظر گرفتن این فرض که خون ۸٪ کل وزن بدن موش را تشکیل می‌دهد، تصحیح شد [۷، ۸]. توزیع پرتوزایی در اندام‌های مختلف به صورت درصد پرتوزایی تزریقی بر هر گرم اندام (%) محاسبه شد [۷، ۸].

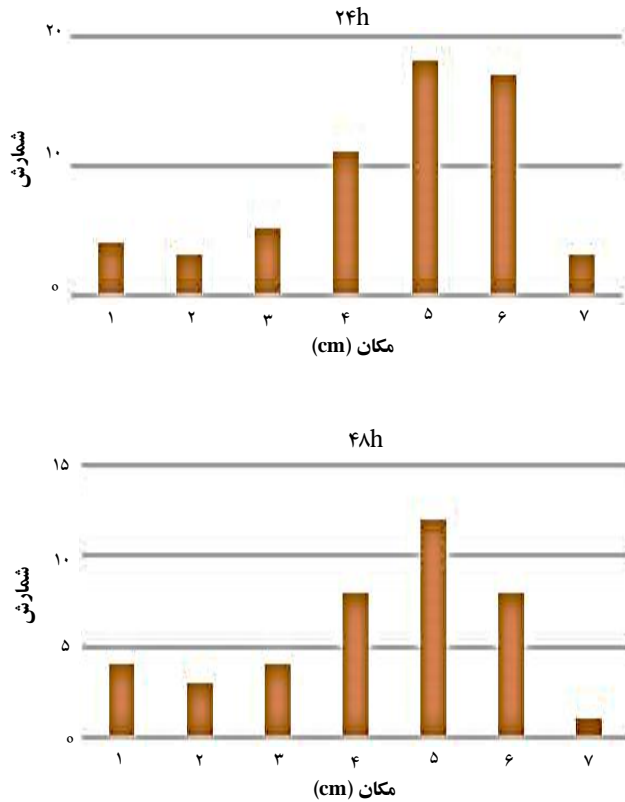
### ۳. یافته‌ها و بحث

#### ۳.۱ تولید $\text{Sc}^{45}$

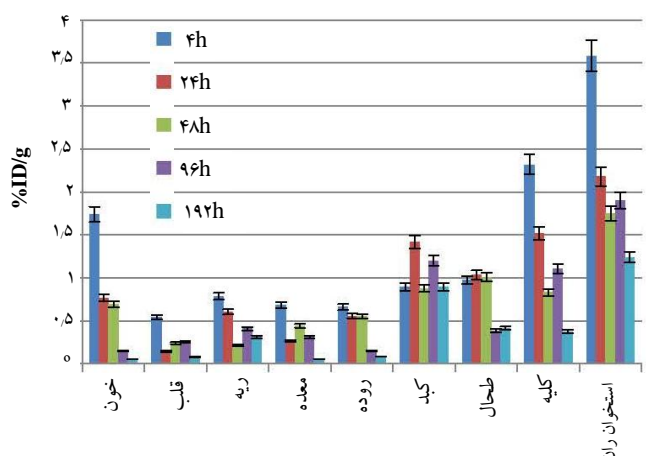
از تابش‌دهی هدف  $\text{Sc}_2\text{O}_3$ <sup>۴۵</sup> طبیعی در مدت ۴۸ h تحت شار نوترونی  $3.5 \times 10^{13} \text{n/cm}^2\cdot\text{s}$ ، رادیوایزوتوپ  $\text{Sc}^{46}$  با پرتوزایی ویژه  $116.58 \text{ MBq/mg}$  (۳, ۱۵ mCi/mg) حاصل شد [۸]. به مدت ۸ روز پس از تابش‌دهی، به دست آمد. خلوص هسته‌ی پرتوزایی  $\text{Sc}^{46}$  با استفاده از طیف‌نگاری گاما بررسی شد که در طیف حاصل فقط دو قله‌ی مشخصه  $\text{Sc}^{46}$  در ۸۸۹ و ۱۱۲۰ keV مشاهده شد (شکل ۲). از آن‌جا که عنصر اسکاندیم دارای یک تک‌ایزوتوپ ( $\text{Sc}^{45}$ ) است، معمولاً هنگام تابش‌دهی در راکتور، به غیر از تولید  $\text{Sc}^{46}$ ، انتظار تشکیل رادیوایزوتوپ دیگری از این عنصر مانند  $\text{Sc}^{47}$  نمی‌رود. اگرچه احتمال این وجود دارد که با وقوع واکنش (n,p)، رادیوایزوتوپ  $\text{Ca}^{45}$  تشکیل شود، اما با مقایسه سطح مقطع واکنش‌های ( $n,\gamma$ ) و ( $n,p$ ) (۰, ۰.۱۵ b) برای  $\text{Ca}^{45}$  در برابر  $27.2 b$  برای  $\text{Sc}^{46}$ ، می‌توان به این نتیجه رسید که احتمال تشکیل  $\text{Ca}^{45}$  کمتر از ۱٪ است. بنابراین خلوص هسته‌ی پرتوزایی  $\text{Sc}^{46}$  تولید شده، بیش از ۹۸٪ خواهد بود [۱۳]. خلوص رادیوشیمیایی محلول  $\text{ScCl}_3$ <sup>۴۶</sup> نیز با استفاده از طیف‌نگاری بتا و ITLC و حلal آمونیم استات ۱۰٪ مtanول بررسی شد که در این روش  $\text{Sc}^{46}$  با حلal به سمت بالا حرکت نمی‌کند و در پایین کاغذ باقی می‌ماند (شکل ۳).



جذب به دست آمده‌ی Das و همکارانش  $4.23\% \text{ID/g}$  برای  $^{177}\text{Lu-DOTMP}$  تقریباً نزدیک است [۱۸].

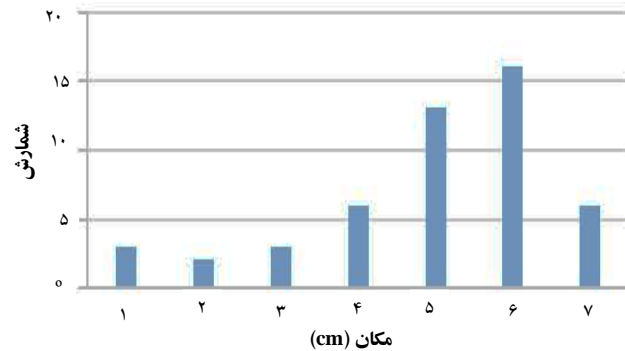


شکل ۵. رادیوکروماتوگرافی کاغذی ترکیب  $^{45}\text{Sc-DOTMP}$  با آمونیم استات ۱۰٪ مтанول ۱:۱، ۲۴ و ۴۸h پس از تشکیل ترکیب در نسبت وزنی لیگاند به فلز ۱:۶۰.



شکل ۶. درصد پرتوزایی تزریقی بر هر گرم اندام (% ID/g) ترکیب  $^{45}\text{Sc-DOTMP}$  در اندام‌های مختلف موش در ۴، ۲۴، ۴۸، ۹۶ و ۱۹۲h پس از تزریق.

و ۲/۲CC از محلول  $\text{ScCl}_3$  با  $\text{pH}=8$  (با نسبت وزنی فلز به لیگاند ۱:۶۰) به دست آمد (شکل ۶).



شکل ۶. رادیوکروماتوگرافی کاغذی ترکیب  $^{45}\text{Sc-DOTMP}$  با آمونیم استات ۱۰٪ مтанول ۱:۱ با استفاده از کاغذ واتمن شماره‌ی ۱ در نسبت وزنی لیگاند به فلز ۱:۶۰ ( $R_f=1.60$ ).

**۳.۳ بررسی پایداری آزمایشگاهی**  
پایداری آزمایشگاهی ترکیب  $^{45}\text{Sc-DOTMP}$ ، با نگهداری آن در دمای اتاق و در  $\text{pH}=8$ ، به مدت ۴۸h پس از تهیه بررسی شد. خلوص رادیوشیمیایی ترکیب به روش ITLC و حلال آمونیم استات ۱۰٪-مانول ۱:۱ در بازه‌های زمانی منظم با به کار بردن روش‌های استاندارد کنترل کیفی، بررسی شد. نتایج حاصل از ITLC که در شکل ۵ نشان داده شده‌اند، نشان‌دهنده‌ی پایداری ترکیب تشکیل شده در شرایط آزمایشگاهی فوق (بیش تر از ۹۰٪)، تا ۴۸h پس از تشکیل است.

**۴.۰ بررسی توزیع بیولوژیکی در موش**  
در شکل ۶ و جدول ۱، جذب ترکیب  $^{45}\text{Sc-DOTMP}$  در اندام و بافت‌های مختلف مدل موش صورت % ID/g در ساعت‌های مختلف پس از تزریق نشان داده شده است. نتایج مطالعات بیولوژیکی نشان‌دهنده‌ی بالاترین جذب استخوانی  $4h$  پس از تزریق است. جذب مشاهده شده در استخوان ران در این نقطه‌ی زمانی برابر با ۳/۵۸٪ بوده، و جذب معادل کل استخوان‌ها برابر با ۱۱/۳۳٪ محاسبه شده است که با جذب اندازه‌گیری شده‌ی Banerjee و همکارانش به مقدار  $3.93\text{ g}$  به  $3.72\% \text{ID/g}$  به ترتیب برای  $^{153}\text{Sm-DOTMP}$  و  $^{153}\text{Sm-EDTMP}$  مشابه، و با مقدار  $4.73\% \text{ID/g}$  اندازه‌گیری شده‌ی این گروه برای  $^{175}\text{Yb-EDTMP}$  تقریباً نزدیک است [۶]. همچنین با مقدار



برای برخی لیگاندها مانند EDTMP که در سایر پژوهش‌ها، بین ۲۵۰ تا ۳۵۰ به ۱ گزارش شده است، در این پژوهه با نسبت وزنی لیگاند به فلز بسیار پایین‌تر: ۱:۶۰ انجام شد. در ساخت رادیوداروهای استخوان‌خواه، هر چه این نسبت وزنی پایین‌تر باشد، برای استفاده در بیماران نتیجه‌ی بهتری خواهد داشت. بررسی توزیع بیولوژیکی این ترکیب بر روی موش، نشان‌دهنده‌ی بالاترین جذب اسکلتی در استخوان ران (~۳/۷٪) پس از ۴h تزریق، پاک شدن تقریباً سریع از خون بود. این نتیجه با نتایج به دست آمده از سایر پژوهش‌ها در نشان‌دارسازی DOTMP و لیگاند مشابه EDTMP، تقریباً یکسان است.

نتایج این پژوهش مؤید این مطلب است که ایزوتوپ‌های اسکاندیم به ویژه رادیوایزوتوپ  $^{47}\text{Sc}$  قابلیت تشکیل کمپلکس با لیگاند پلی‌آمینوفسفونیک اسید حلقوی DOTMP، و پتانسیل لازم برای استفاده‌ی درمانی در حوزه‌ی پزشکی هسته‌ای و در زمینه‌ی تسکین دردهای استخوانی ناشی از سرطان‌های پستان، پروستات و ریه را دارند. هم‌چنین می‌توان در آینده در مورد ساخت این رادیودارو با رادیوایزوتوپ  $^{47}\text{Sc}$  که دارای نیمه‌عمر ۳/۴۷d و انرژی گامای مناسب  $159\text{keV}$  است به منظور تصویربرداری و هم‌چنین تابش بتایی با انرژی متوسط  $142\text{keV}$  مناسب برای درمان تومورها، اقدام نمود.

جدول ۱. الگوی توزیع بیولوژیکی ترکیب  $^{46}\text{Sc}$ -DOTMP در موش

	% ID/g				
	۱۹۷h	۹۶h	۴۸h	۲۴h	۴h
خون	$0,05 \pm 0,00$	$0,15 \pm 0,01$	$0,69 \pm 0,04$	$0,77 \pm 0,20$	$1,74 \pm 0,08$
قلب	$0,08 \pm 0,01$	$0,25 \pm 0,02$	$0,24 \pm 0,04$	$0,14 \pm 0,03$	$0,54 \pm 0,04$
ریه	$0,31 \pm 0,03$	$0,41 \pm 0,03$	$0,21 \pm 0,04$	$0,60 \pm 0,05$	$0,79 \pm 0,11$
معده	$0,05 \pm 0,00$	$0,31 \pm 0,02$	$0,44 \pm 0,04$	$0,27 \pm 0,04$	$0,69 \pm 0,18$
روود	$0,08 \pm 0,01$	$0,15 \pm 0,02$	$0,55 \pm 0,11$	$0,56 \pm 0,13$	$0,66 \pm 0,09$
کبد	$0,89 \pm 0,14$	$1,7 \pm 0,09$	$1,76 \pm 0,17$	$1,42 \pm 0,17$	$0,90 \pm 0,03$
طحال	$0,41 \pm 0,07$	$0,39 \pm 0,03$	$0,26 \pm 0,05$	$1,03 \pm 0,11$	$0,98 \pm 0,12$
کلیه	$0,37 \pm 0,09$	$1,11 \pm 0,17$	$0,26 \pm 0,27$	$1,52 \pm 0,36$	$2,32 \pm 0,55$
استخوان ران	$1,24 \pm 0,13$	$1,90 \pm 0,03$	$1,75 \pm 0,17$	$2,18 \pm 0,12$	$3,58 \pm 0,42$

با توجه به داده‌های بیولوژیکی به دست آمده، مشاهده می‌شود که سرعت پاک‌شوندگی رادیودارو از خون، تقریباً سریع است. جذب سریع در کبد و افزایش جذب در آن تا ۴۸h پس از تزریق (۱,۷۶% ID/g) مشاهده شد. این جذب در کبد با توجه به گزارش‌هایی که در مورد میل ذاتی  $^{46}\text{ScCl}_3$  به جذب در کبد که مقدم و همکارانش و نیز Rosoff و همکارانش در مدل حیوانی گزارش کردۀ‌اند، طبیعی به نظر می‌رسد [۱۹، ۱۳]. مقایسه‌ی الگوی توزیع بیولوژیکی به دست آمده در این پژوهه با الگوی توزیع گزارش شده در کار مقدم و همکارانش برای  $^{46}\text{ScCl}_3$ ، نشان‌دهنده‌ی تمایل استخوان‌خواهی بالای ترکیب  $^{46}\text{Sc}$ -DOTMP، در برابر تمایل ذاتی جذب در کبد  $^{46}\text{ScCl}_3$  است. توزیع ماندگاری رادیودارو در کبد پس از گذشت ۹۶h (۱,۲% ID/g) قابل توجه بود که با در نظر گرفتن جذب در کلیه و معده، می‌توان نتیجه گرفت که رادیودارو هم از طریق مسیر کلیوی و هم کبدی دفع شده‌است.

#### ۴. نتیجه‌گیری

ترکیب  $^{46}\text{Sc}$ -DOTMP با بازدهی نشان‌دارسازی و خلوص رادیوشیمیایی بالا (بالاتر از ۹۵٪) با استفاده از  $^{46}\text{Sc}$  تولید شده تحت بمباران نوترون حرارتی هدف  $\text{Sc}_2\text{O}_3$  و لیگاند پلی‌آمینوفسفونیک حلقوی DOTMP، ساخته شد. این ترکیب، پایداری آزمایشگاهی بالایی در دمای اتاق و در pH=۸ تا ۴۸h پس از تشکیل از خود نشان داد. نسبت وزنی تشکیل کمپلکس



## مراجع

- [1] A. McEwan, Use of radionuclides for the palliation of bone metastases, In Seminars in radiation oncology Elsevier, 10 (2000) 103-114.
- [2] G.M. Reisfield, E.B. Silberstein, G.R. Wilson, Radiopharmaceuticals for the palliation of painful bone metastases, *Am. J. Hospice Palliative Med.* **22** (2005) 41-46.
- [3] K. Liepe, R. Runge, J. Kotzerke, The benefit of bone-seeking radiopharmaceuticals in the treatment of metastatic bone pain, *J. Cancer Res. Clin.* **131** (2005) 60-66.
- [4] V.J. Lewington, Bone-seeking radionuclides for therapy. *J. Nucl. Med.* **46** (2005) 38S-47S.
- [5] F.M. Paes, V. Ernani, P. Hosein, A.N. Serafini, Radiopharmaceuticals: when and how to use them to treat metastatic bone pain, *J. Supportive Oncol.* **9** (2011) 197-205.
- [6] S. Banerjee, S. Chakraborty, T. Das, K. Kothari, G. Samuel, M. Venkatesh, M. Pillai, B. Mathew, H.D. Sarma, P.R. Chaudhari, 177Lu-DOTMP, 153Sm-DOTMP, 175Yb-EDTMP and 186/188Re-CTMP: Novel Agents for Bone Pain Palliation and Their Comparison with 153Sm-EDTMP, BARC NEWSLETTER. 261 (2005) 22.
- [7] S. Chakraborty, T. Das, H.D. Sarma, M. Venkatesh, S. Banerjee, Comparative studies of 177Lu-EDTMP and 177Lu-DOTMP as potential agents for palliative radiotherapy of bone metastasis, *Appl. Radiat. Isot.* **66** (2008) 1196-1205.
- [8] T. Das, S. Chakraborty, H.D. Sarma, S. Banerjee, 177Lu-DOTMP: a viable agent for palliative radiotherapy of painful bone metastasis, *Radiochim. Acta* **96** (2008) 55-61.
- [9] S. Hassfjell, K. Ingebrigtsen, Ø.S. Bruland, Synthesis, purification and biodistribution of 205 Bi-DOTMP, visualizing bone deposition patterns with autoradiography, *Nucl. Med. Biol.* **28** (2001) 425-433.
- [10] C. Müller, M. Bunka, S. Haller, U. Köster, V. Groehn, P. Bernhardt, N. Van der Meulen, A. Türler, R. Schibli, Promising Prospects for 44Sc-/47Sc-Based Theragnostics: Application of 47Sc for Radionuclide Tumor Therapy in Mice, *J. Nucl. Med.* **55** (2014) 1658-1664.
- [11] M. Połosak, A. Piotrowska, S. Krajewski, A. Bilewicz, Stability of 47Sc-complexes with acyclic polyamino-polycarboxylate ligands, *J. Radioanal. Nucl. Chem.* **295** (2013) 1867-1872.
- [12] W.T. Anderson, M. Strand, Stability, targeting, and biodistribution of scandium-46- and gallium-67-labeled monoclonal antibody in erythroleukemic mice, *Cancer Res.* **45** (1985) 2154-2158.
- [13] A. Majkowska-Pilip, A. Bilewicz, Macroyclic complexes of scandium radionuclides as precursors for diagnostic and therapeutic radiopharmaceuticals, *J. Inorg. Biochem.* **105** (2011) 313-320.
- [14] M. Neves, F.C. Teixeira, I. Antunes, A. Majkowska, L. Gano, A.C. Santos, Chemical and biological evaluation of 153 Sm and 46/47 Sc complexes of indazolebisphosphonates for targeted radiotherapy, *Appl. Radiat. Isot.* **69** (2011) 80-84.
- [15] L. Moghaddam-Banaem, A. Jalilian, M. Pourjavid, E. Radfar, A. Bahrami-Samani, K. Yavari, M. Mazidi, M. Ghannadi-Maragheh, Development of a radios scandium immunoconjugate for radioimmunotherapy, *Radiochimica Acta International journal for chemical aspects of nuclear science and technology* **100** (2012) 215-221.
- [16] L. Moghaddam-Banaem, A.R. Jalilian, M. Pourjavid, A. Bahrami-Samani, M. Mazidi, M. Ghannadi-Maragheh, Preparation and quality control of scandium-46 bleomycin as a possible therapeutic agent, *Iran. J. Nucl. Med.* **20** (2012) 6.
- [17] D. Máthé, L. Balogh, A. Polyák, R. Király, T. Márián, D. Pawlak, J.J. Zaken, M.R. Pillai, G.A. Jánoki, Multispecies animal investigation on biodistribution, pharmacokinetics and toxicity of 177Lu-EDTMP, a potential bone pain palliation agent, *Nucl. Med. Biol.* **37** (2010) 215-226.
- [18] T. Das, S. Chakraborty, P. Unni, S. Banerjee, G. Samuel, H. Sarma, M. Venkatesh, M. Pillai, 177Lu-labeled cyclic polyaminophosphonates as potential agents for bone pain palliation, *Appl. Radiat. Isot.* **57** (2002) 177-184.



- [19] B. Rosoff, H. Spencer, S. Cohn, E. Gusmano,  
Metabolism of scandium-46 in man, *Int. J.  
Appl. Radiat. Isot.* **16** (1965) 479-485.